

Уральское отделение Российской академии наук **ИНСТИТУТ ГЕОФИЗИКИ**

имени Ю.П. Булашевича г. Екатеринбург

Подтверждение методики интерпретации боковых аномалий скважинной магнитометрии при помощи моделирования в лабораторных условиях

м.н.с. Лаборатории скважинной геофизики: Дорогань Ульяна Васильевна

Задачи скважинной магнитометрии

- Скважинная магнитометрия является одним из наиболее эффективных методов при поисках и разведке месторождений, связанных с магнитной минерализацией.
- Преимущество метода заключается в том, что горные породы изучаются в естественном залегании. По измерениям магнитного поля исследуется околоскважинное пространство в радиусе десятков и даже сотен метров.
- Скважинная магнитометрия используется для решения широкого круга геологических задач, к числу которых относятся поиски магнитных рудных тел в околоскважинном пространстве, определение элементов залегания, формы и размеров намагниченных рудных тел и их оконтуривание при подсчёте запасов, расшифровка природы магнитных аномалий.

Скважинная магнитометрия, как и наземная магниторазведка, является методом изучения аномалий земного магнитного поля и выявления их связей с локальными намагниченными объектами и базируется на тех же теоретических принципах.

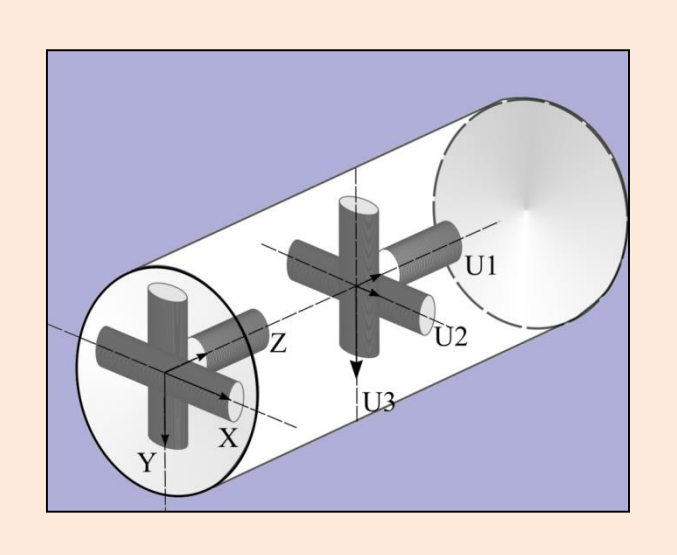
Однако существуют значительные различия, которые на практике усложняют решение данного вопроса:

- В скважинной магнитометрии аномальный объект относительно профиля расположен произвольно.
- В скважинной магнитометрии к услугам наблюдателя всего только один профиль наблюдения (одна скважина), причем часто он даже не дает выхода в нормальное магнитное поле, знание которого необходимо для большей части методов интерпретации в полевой магниторазведке.
- При скважинных наблюдениях возможны измерения внутри намагниченных тел.
- Аномалии Z-составляющей в скважинной магнитометрии имеют "обратный" вид по сравнению с наземными. При этом по одной лишь аномалии Z-составляющей невозможно установить, с какой стороны от скважины находится аномальный объект.

Из перечисленных различий и вытекает необходимость трёхкомпонентных измерений в скважинах и разработка специфических приемов их интерпретации.

Целью проведения данной работы послужило намерение убедиться в достоверности методики интерпретации скважинной магнитометрии, в случае аномалий, обусловленных телами, расположенными в стороне от скважины.

Аппаратура



Скважинная магнитометрия основана на изучении элементов определении магнитной геомагнитного поля, также Для восприимчивости горных пород. проведения исследований использовался цифровой скважинный магнитометр-инклинометр МИ-3803М, разработанный в лаборатории скважинной геофизики Института геофизики УрО РАН на базе феррозондов с использованием акселерометров, жёстко закреплённых в корпусе скважинного снаряда. Прибор позволяет проводить непрерывные измерения составляющих вектора геомагнитного поля, величины магнитной восприимчивости горных пород, вскрытых скважиной, магнитного азимута и зенитного угла скважины.

Зенитный угол

$$\varphi = arctg \frac{\sqrt{U2^2 + U3^2}}{U1};$$

Составляющие геомагнитного поля

Магнитный азимут

$$A = arctg \frac{H_x}{H_y}.$$

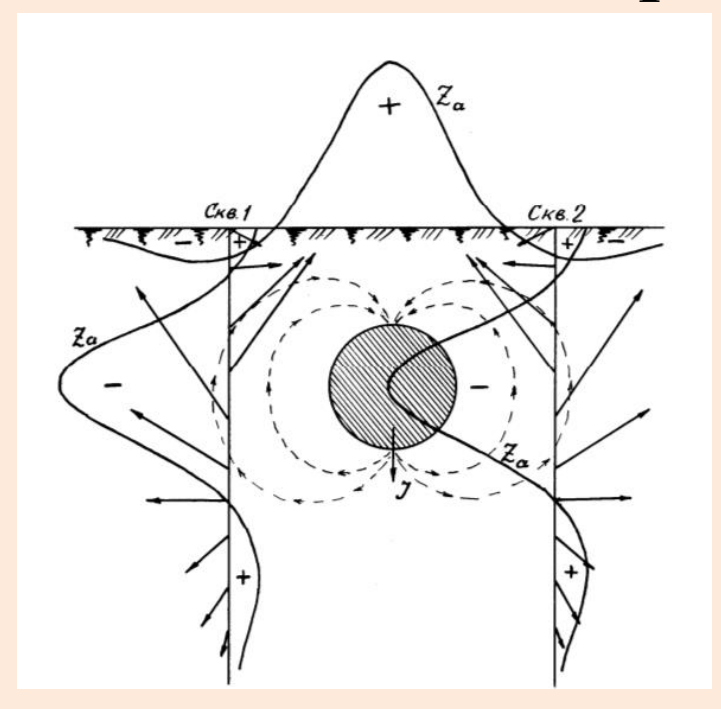
$$Z = -X_{\underline{U}} \cdot \cos\alpha \cdot \sin\varphi - Y_{\underline{U}} \cdot \sin\alpha \cdot \sin\varphi + Z_{\underline{U}} \cdot \cos\varphi;$$

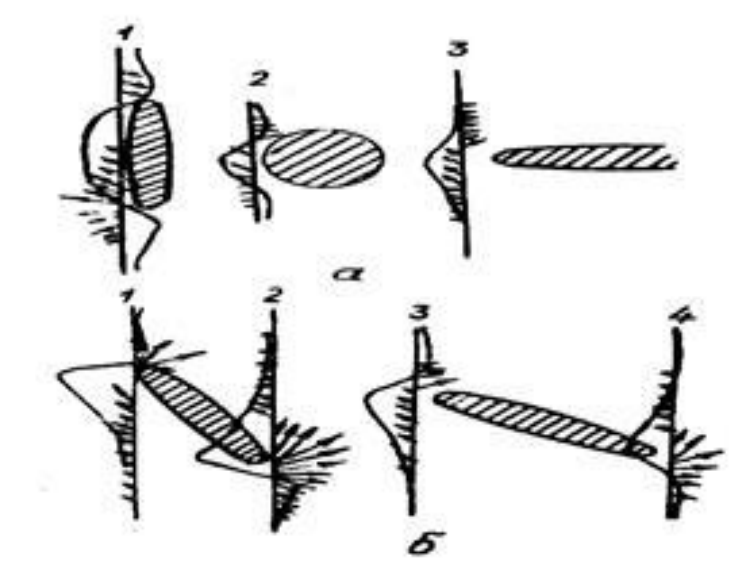
Апсидальный угол

$$\alpha = arctg \frac{U2}{U3};$$

$$\begin{aligned} \mathbf{H}_{\mathbf{X}} &= \mathbf{X}_{\mathbf{U}} \cdot \cos\alpha \cdot \cos\varphi + \mathbf{Y}_{\mathbf{U}} \cdot \sin\alpha \cdot \cos\varphi + \mathbf{Z}_{\mathbf{U}} \cdot \sin\varphi; \\ \mathbf{H}_{\mathbf{y}} &= -\mathbf{X}_{\mathbf{U}} \cdot \sin\alpha + \mathbf{Y}_{\mathbf{U}} \cdot \cos\alpha. \end{aligned}$$

Методика интерпретации боковых аномалий



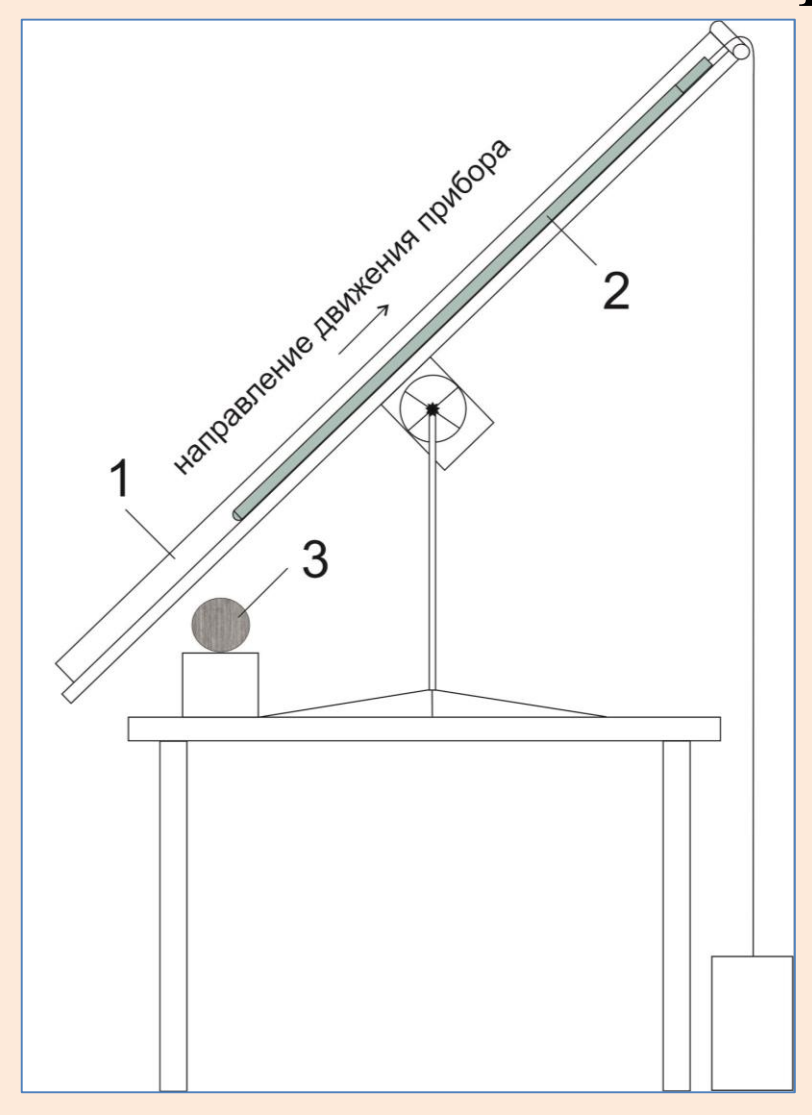


Если за основу классификации принять положение намагниченного тела относительно буровой скважины, то аномалии поля могут быть разделены на: боковые, призабойные, аномалии полного или частичного пересечения и сложные.

Присутствие магнитного объекта в стороне от скважины может быть установлено по наличию в скважине характерной боковой аномалии магнитного поля при условии, что эта аномалия не объясняется магнитной восприимчивостью подсеченных скважиной руд и пород. Существует два основных типа боковых аномалий: симметричные и ассиметричные.

При интерпретации боковых аномалий, прежде всего, определяется: с какой стороны от скважины находится рудное тело, вызывающее аномалию. В разрезе тело расположено с той стороны от скважины, откуда расходится нижний веер и куда сходится верхний веер векторов Та. Симметричные боковые аномалии быть вызваны ΜΟΓΥΤ вертикальными горизонтальными телами; на это указывает характер аномалий. Асимметричные аномалии вызываются наклонными или косонамагниченными телами. По характеру аномалии Z_а можно определить: верхней или нижней кромкой тело подходит к скважине. Если крутая ветвь аномалии Z_a с глубокой положительной областью находится сверху, то тело подходит к скважине кромкой. Если же крутая ветвь Z_a с глубокой положительной областью находится снизу, то тело подходит к скважине нижней кромкой

Задачи и методика проведения исследований



В лаборатории скважинной геофизики Института геофизики УрО РАН была сконструирована установка, представленная на слайде, с помощью которой были воссозданы перемещения трёхкомпонентного скважинного магнитометраинклинометра МИ-3803М по линии наблюдения, которой стороне OT был локализован магнитовозмущающий объект. В ходе опытов пространственное положение данного объекта изменялось, для того чтобы проследить как изменяется форма и знак компонент магнитного поля В зависимости OT направления намагниченности Ј объекта.

Азимут сконструированной установки составил 314°, угол наклона 44°, объект изометричной формы располагался на северо-востоке от модели скважины.

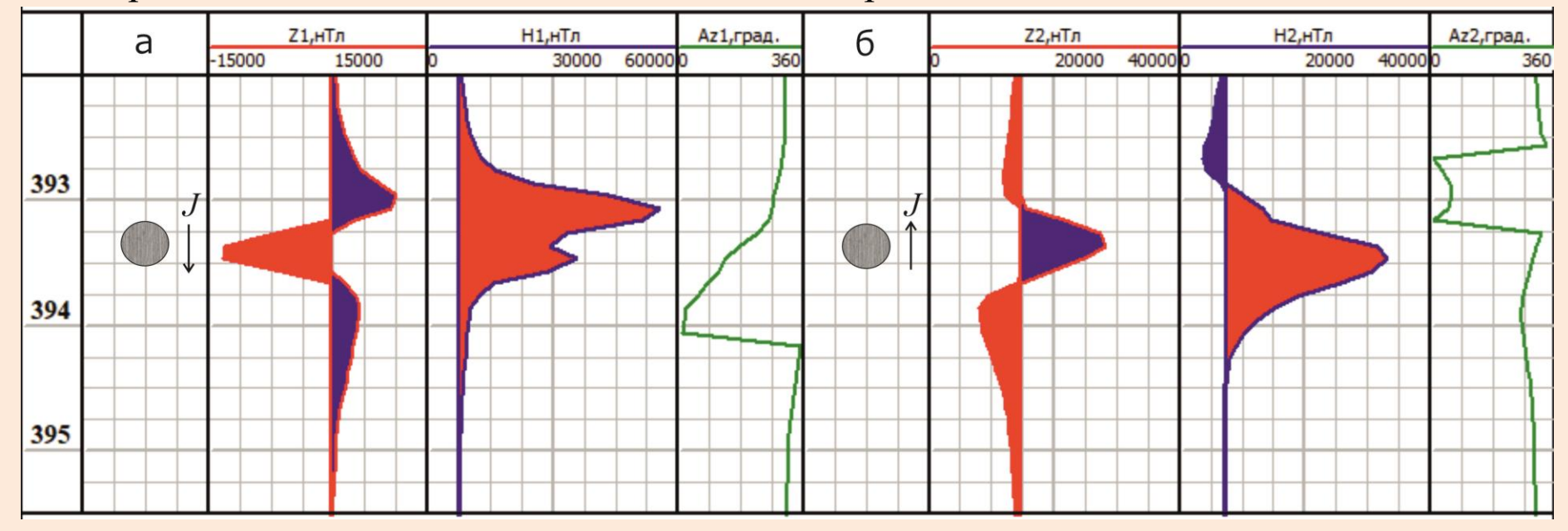
Установка для моделирования магнитных аномалий 1 –жёлоб, по которому двигался прибор; 2 – магнитометр МИ-3803М; 3 – магнитовозмущающий объект

Результаты исследований

Боковые аномалии, полученные путем моделирования в лабораторных условиях, намагниченность вертикальная

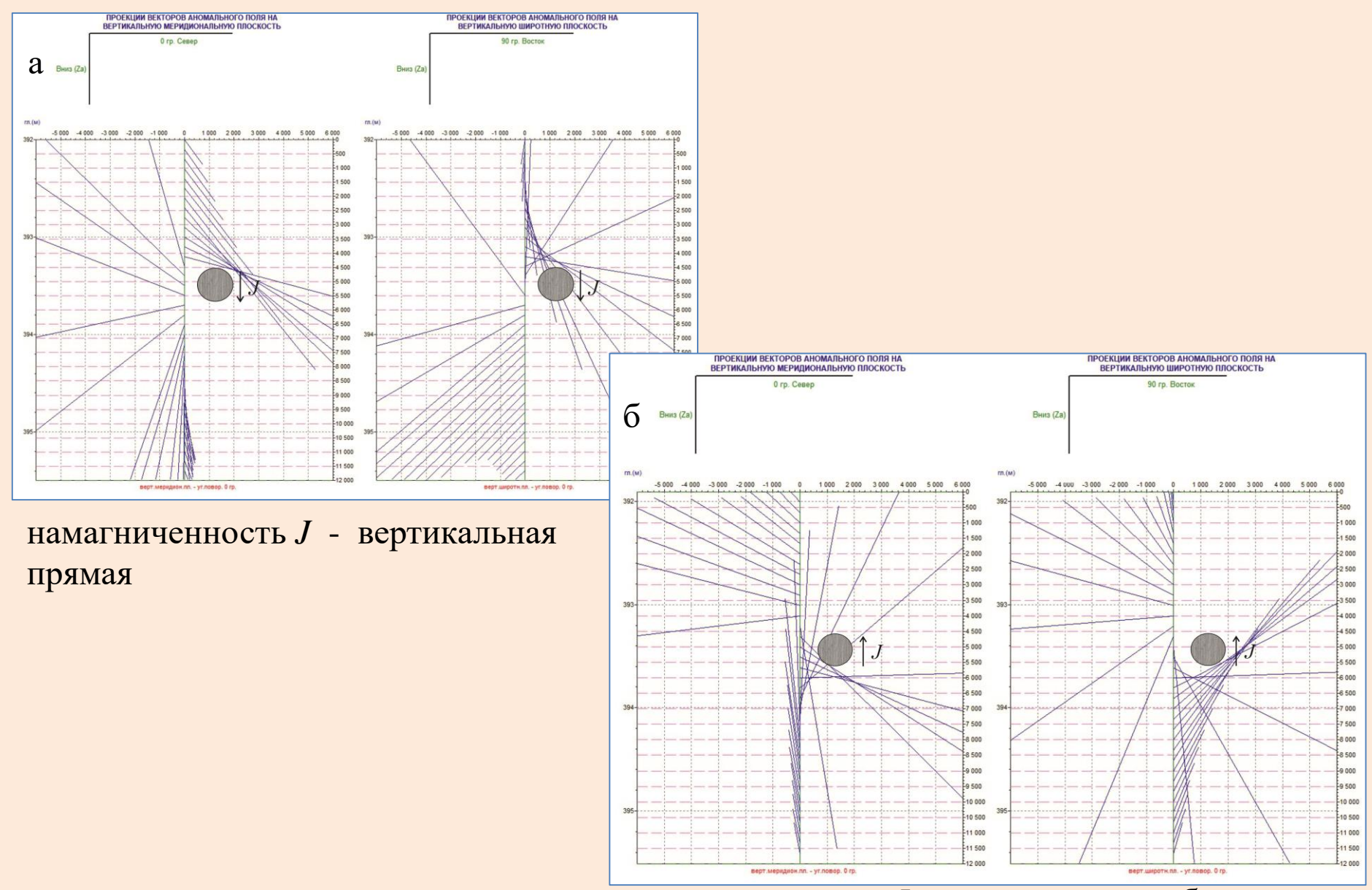
Прямая намагниченность

Обратная намагниченность



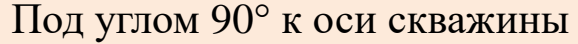
 $Za \approx -26000 \text{ нТл}$ $Ha \approx 48000 \text{ нТл}$ $Az_a \approx 314 ^{\circ}$ $Za \approx 13300$ н $T\pi$ $Ha \approx 26000$ н $T\pi$ $Az_a \approx 254$ $^{\circ}$

Проекции векторов аномального поля

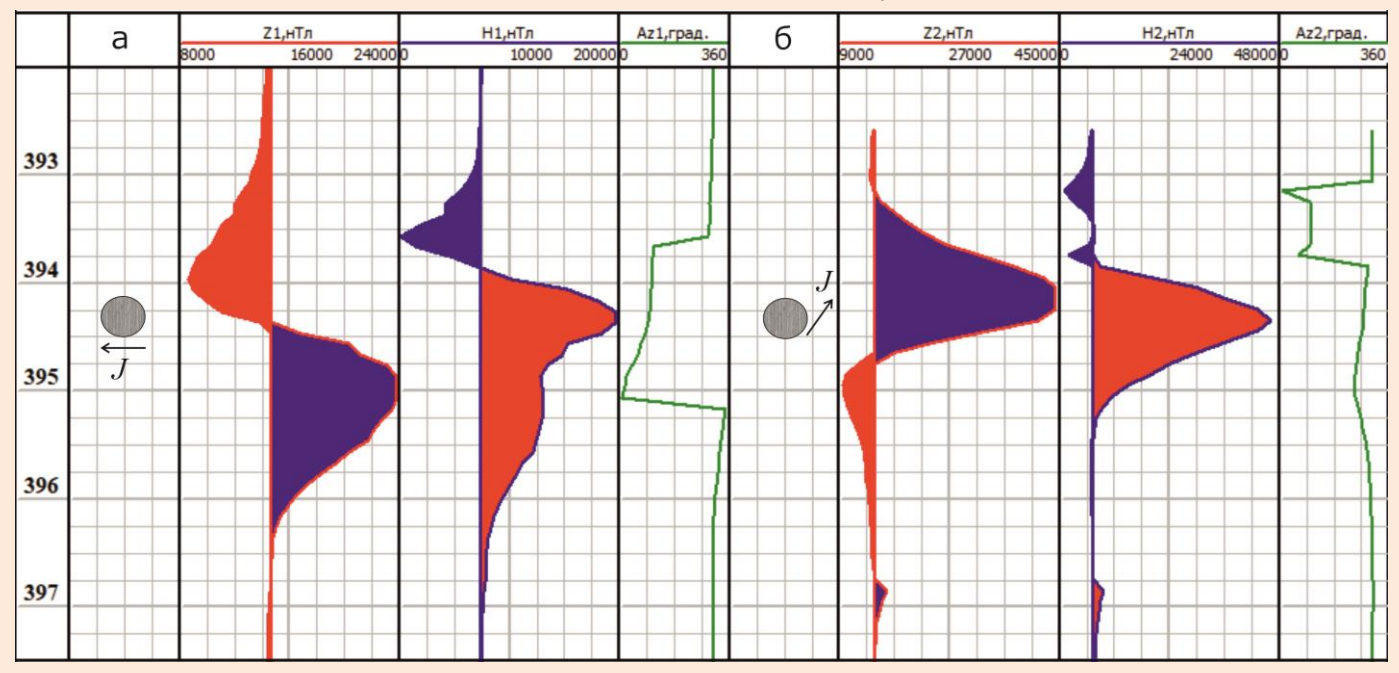


Результаты исследований

Боковые аномалии, полученные путем моделирования в лабораторных условиях, намагниченность

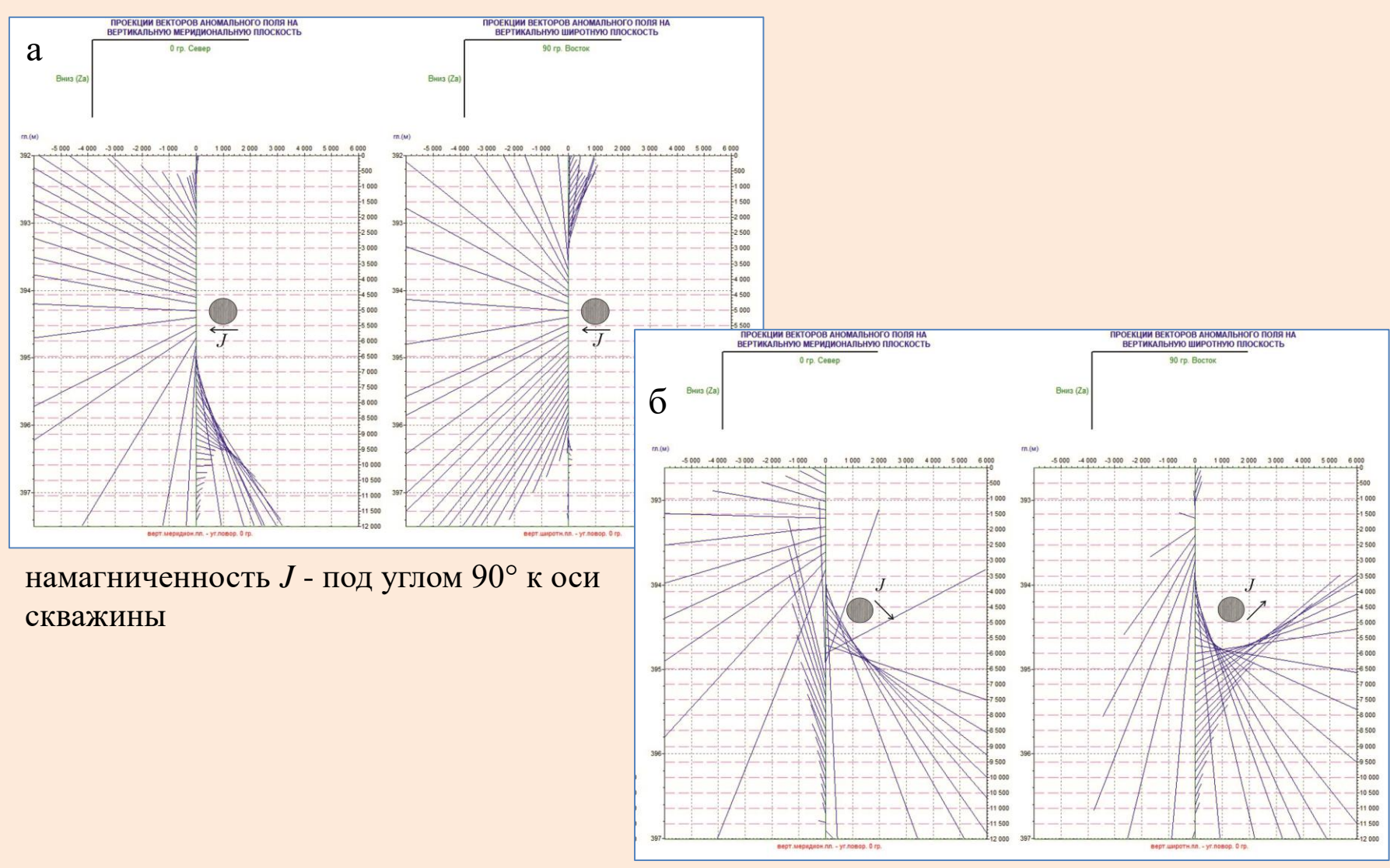


Под углом 46° к оси скважины



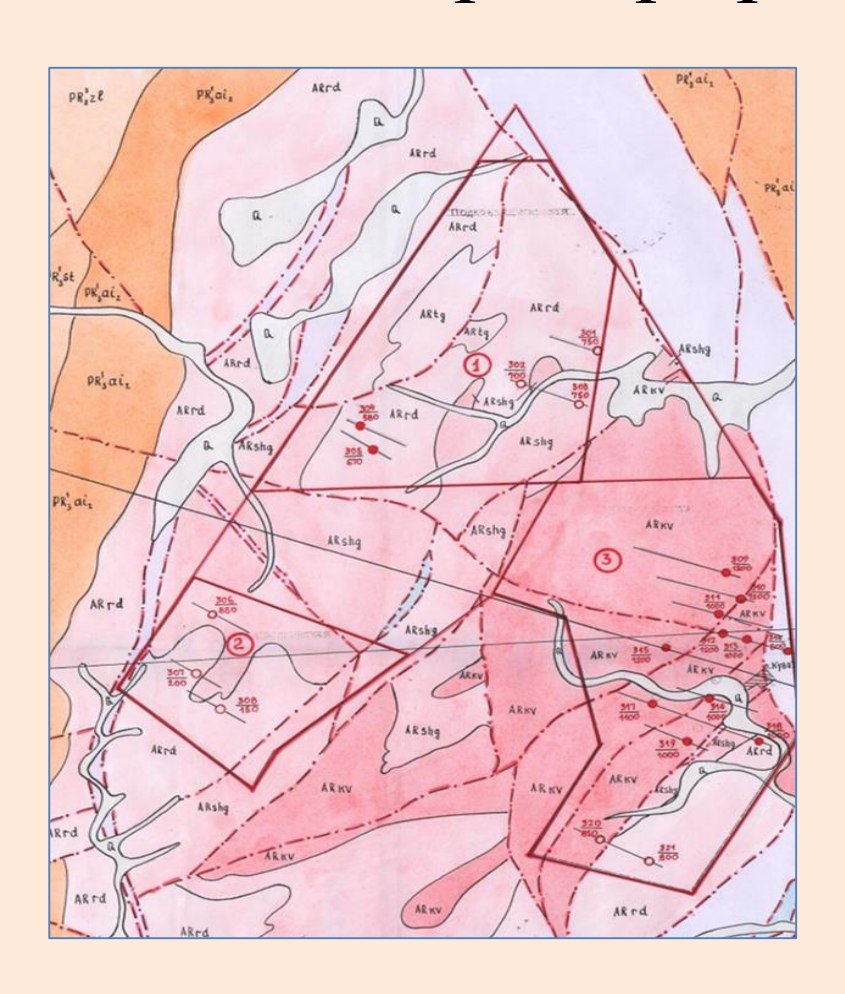
 $Za \approx$ от -6700 до 9300 нТл $Ha \approx$ от -7400 до 12600 нТл $Az_a \approx$ 224 $^\circ$ $Za \approx 30000 \ н$ Тл $Ha \approx 35000 \ н$ Тл $Az_a \approx 224 \ ^\circ$

Проекции векторов аномального поля



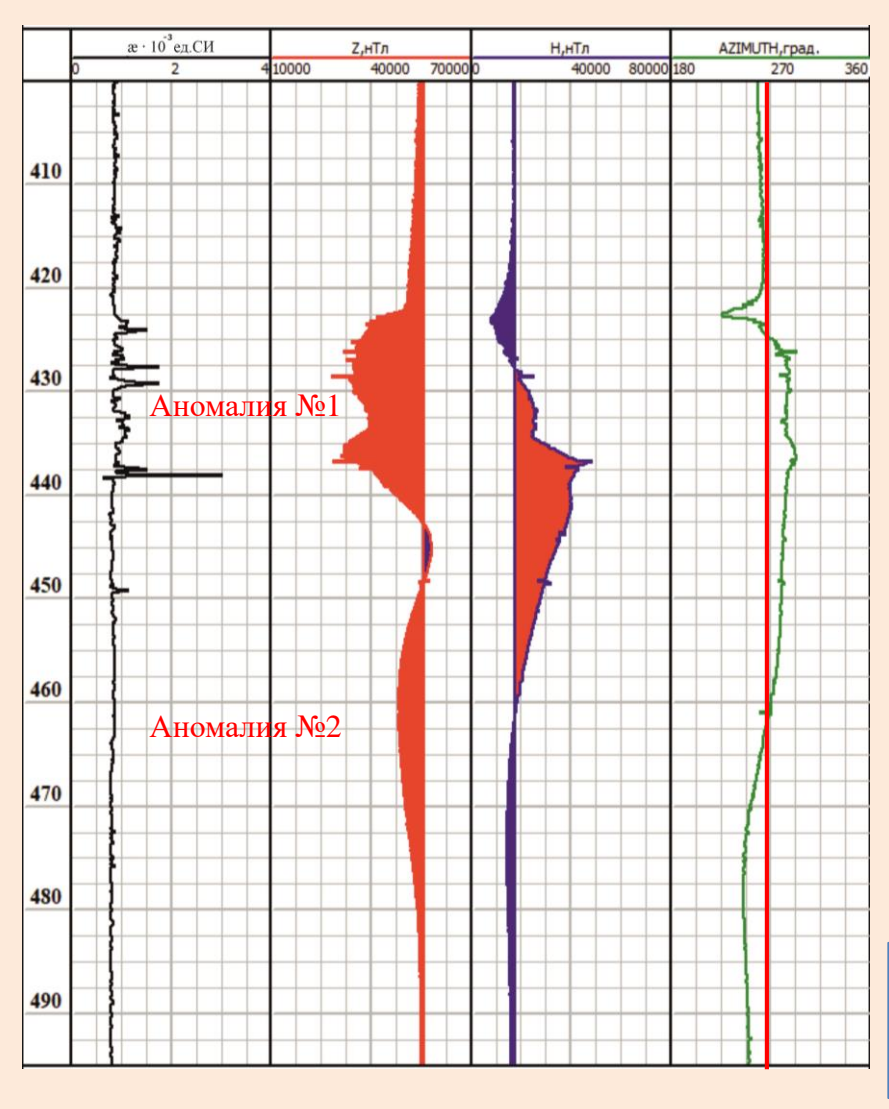
намагниченность J - под углом 46° к оси скважины

Применимость методики интерпретации на примере реальных скважин

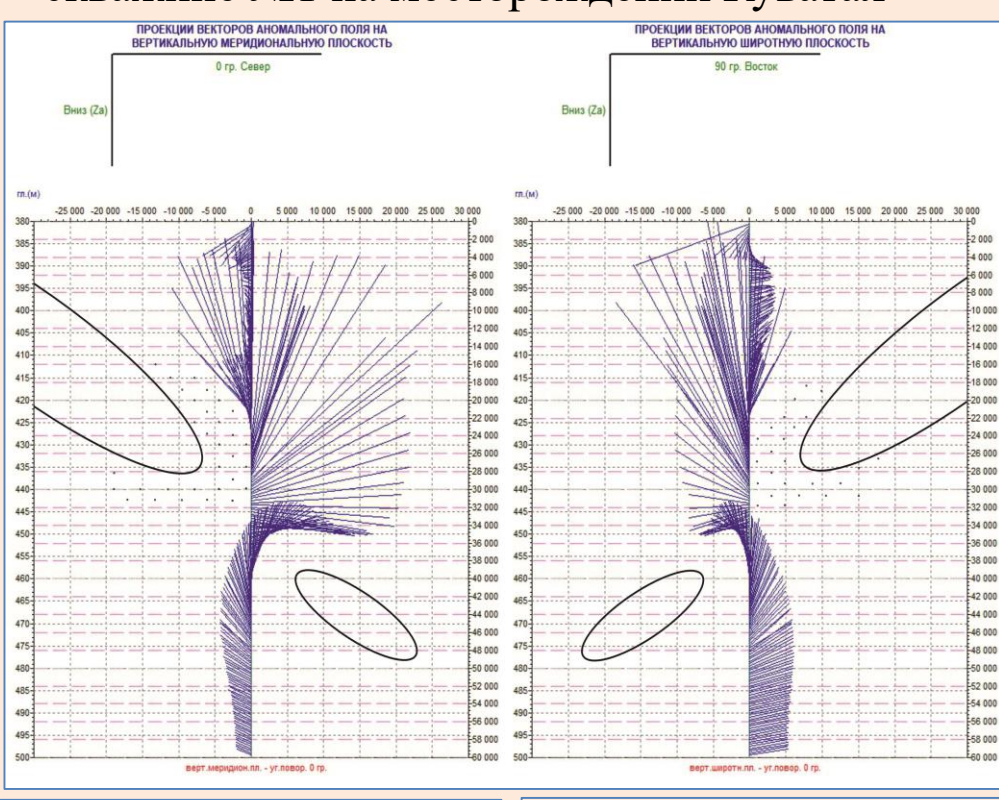


Проявления Куватал Северо-Тараташского участка расположено в Челябинской области, локализовано В породах, глубоко представленных комплексом метаморфизованных пород: гнейсов пироксен-плагиоклазовых мигматитов, кристаллических сланцев, магнетитовых кварцитов. Магнитные свойства изменяются в соответствии с увеличением в НИХ среднего содержания магнетита, обусловленного увеличением степени метаморфизма и увеличением основности магматических пород.

Результаты скважинной магнитометрии в скважине №1 на месторождении Куватал

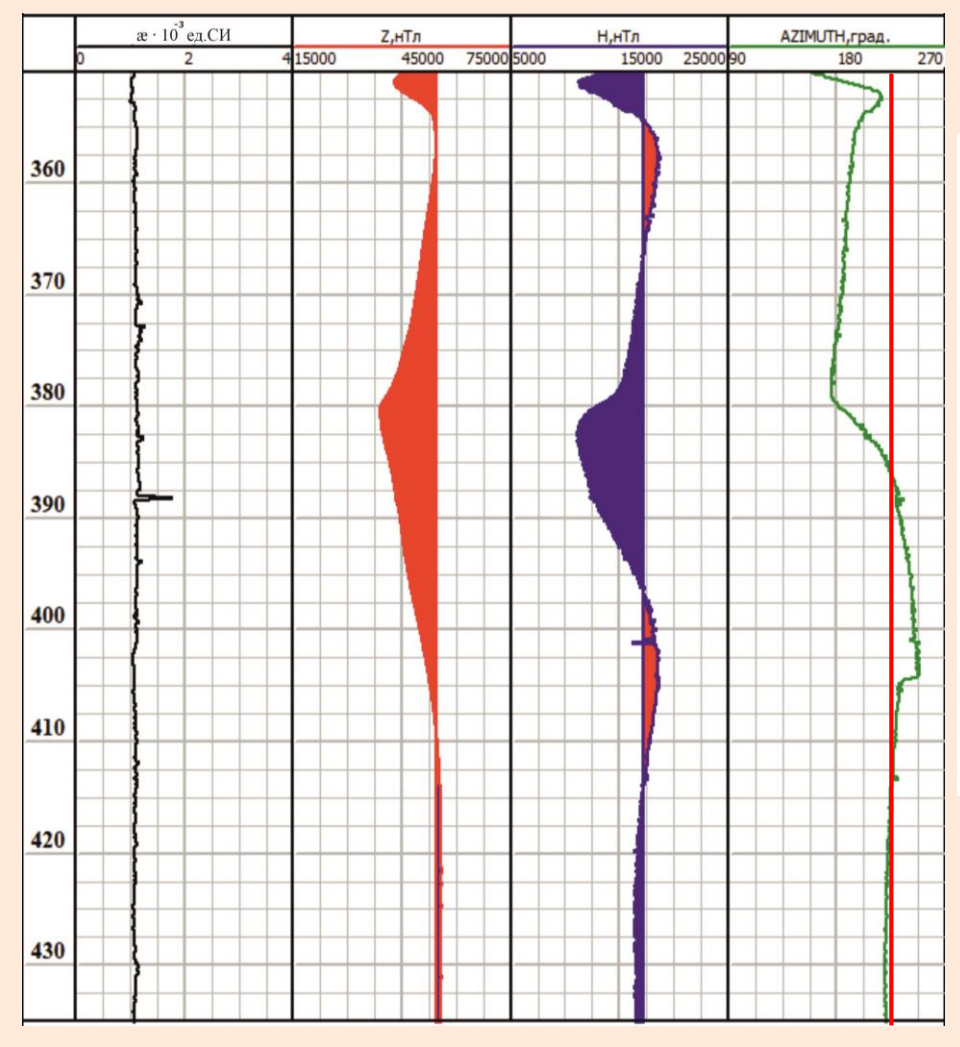


Проекция векторов аномального поля по скважине №1 на месторождении Куватал

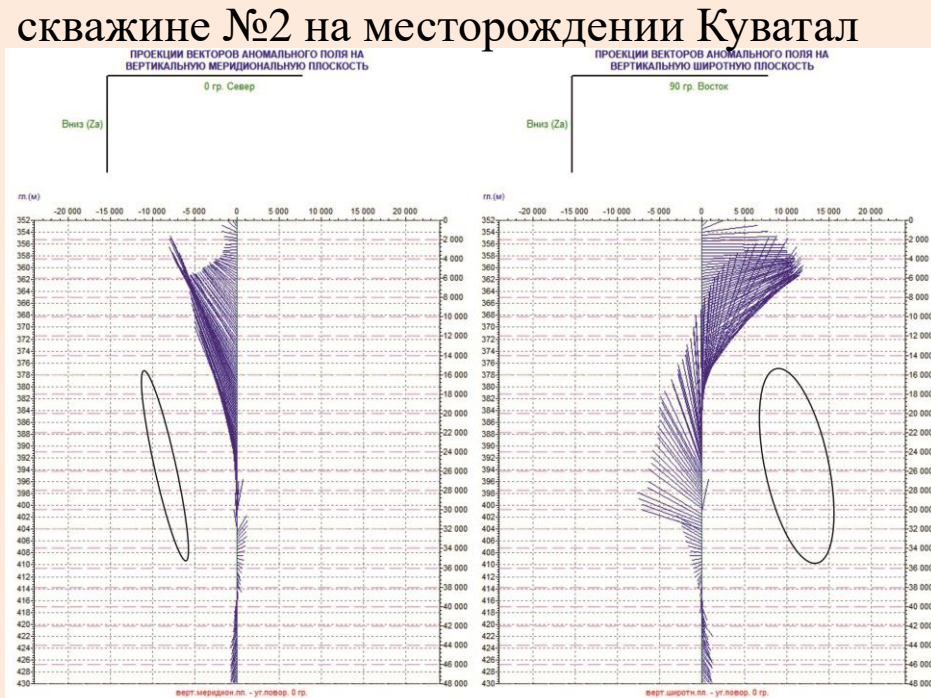


 $Za_1 \approx -23000 \ HT\pi$ $Ha_1 \approx \text{ от -7000 до 22 000 HT}\pi$ $Az_{a1} \approx \text{ от - 45}^{\circ} \ \text{до 15}^{\circ}$ ${
m Za_2} \approx$ -9000 нТл ${
m Ha_2} \approx$ от -2200 до 7700 нТл ${
m Az_{a2}} \approx$ от 10 $^\circ$ до -20 $^\circ$

Результаты скважинной магнитометрии в скважине №2 на месторождении Куватал



Проекция векторов аномального поля по скважине №2 на месторождении Куватал



 $Za \approx -14800 \ HT\pi$ $Ha \approx \text{ от } -6000 \ \text{до } 1500 \ \text{HT}\pi$ $Az_a \approx \text{ от } -46^\circ \ \text{до } 22^\circ$

Заключение

Вне зависимости от того, какую конфигурацию и какое направление намагниченности имеет тело, можно достоверно определить его местоположение относительно скважины при помощи интерпретации компонент скважинной кривых магнитометрии и построенных по этим данным векторов магнитного поля.

Спасибо за внимание!

Контакты:

Эл.почта: viryasova.u@mail.ru